

1/13

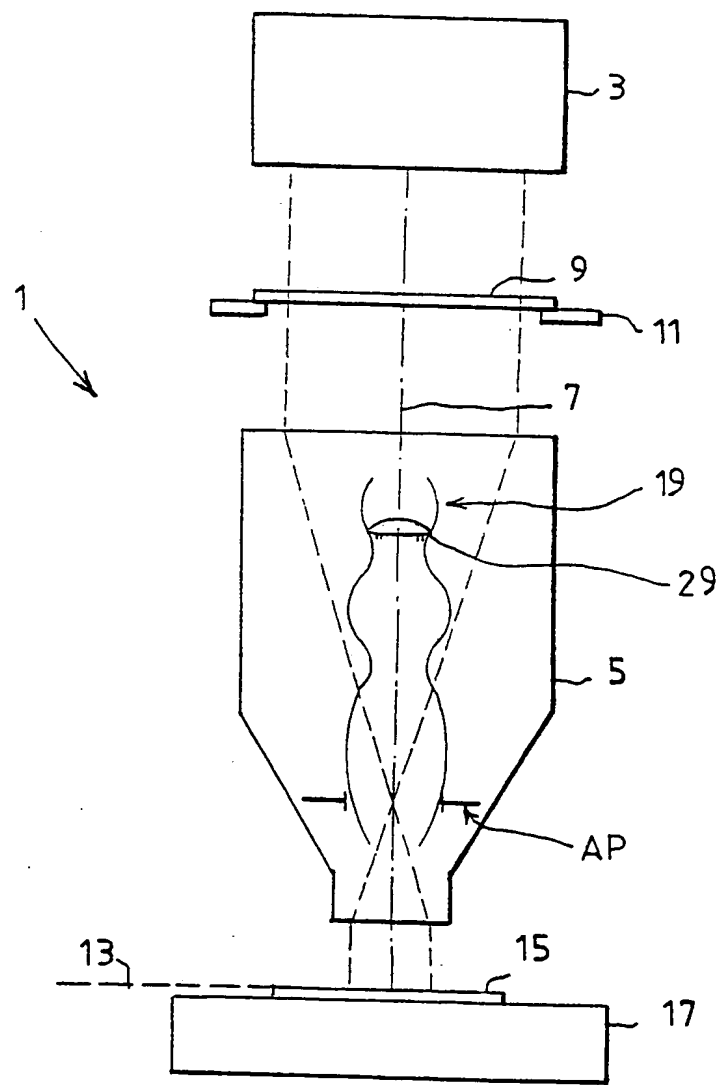
FIG. 1

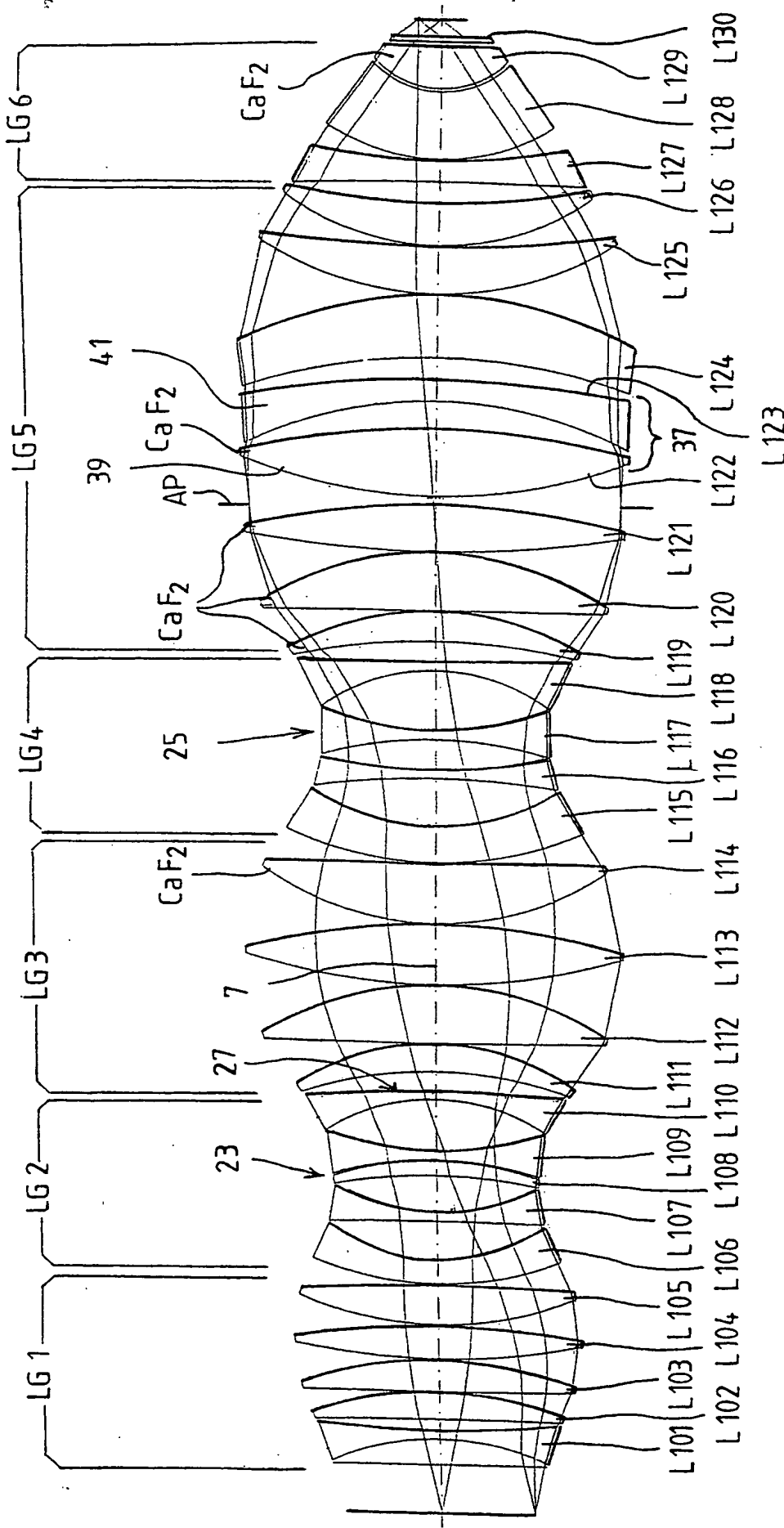
FIG. 219
↙

FIG. 3

19

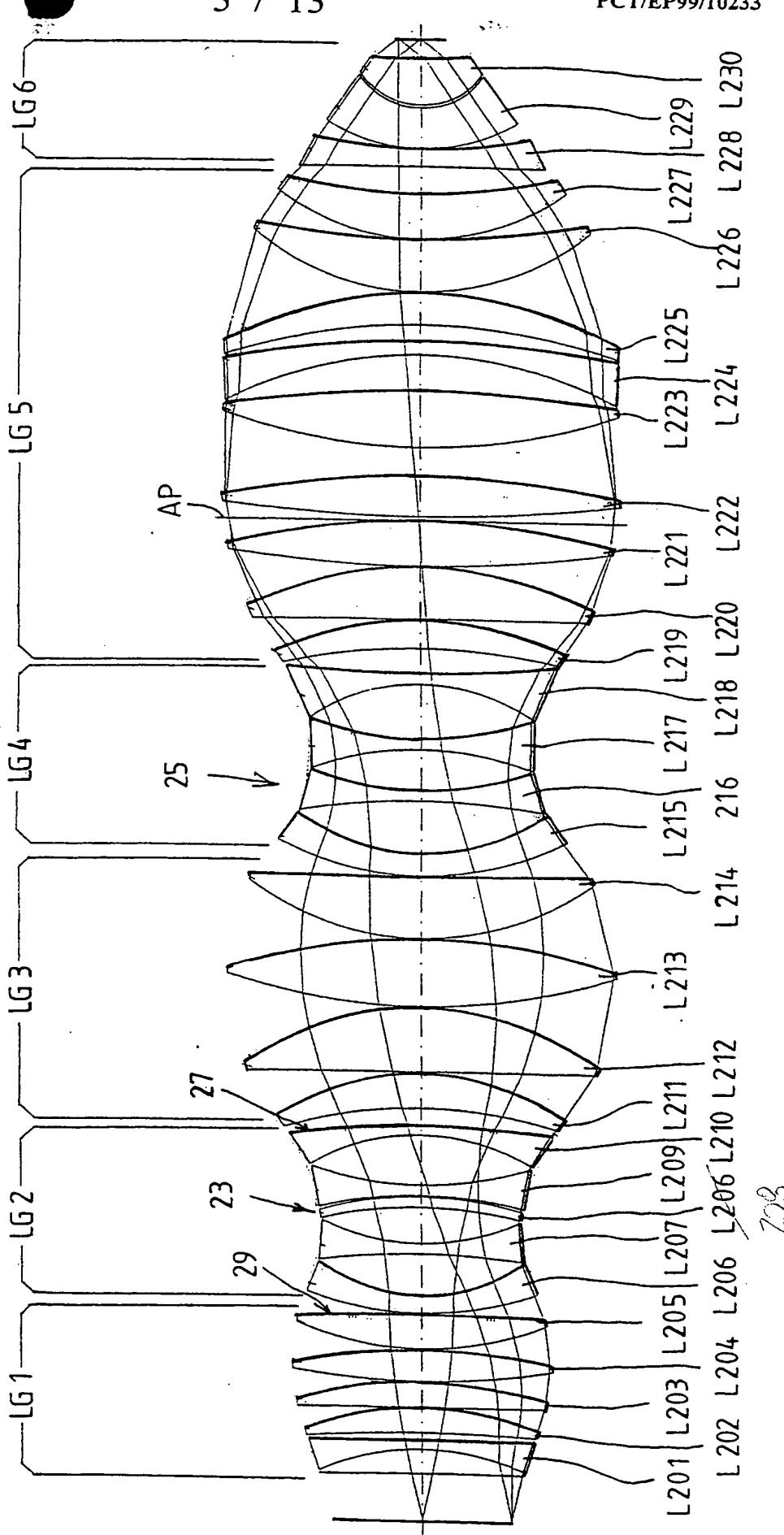
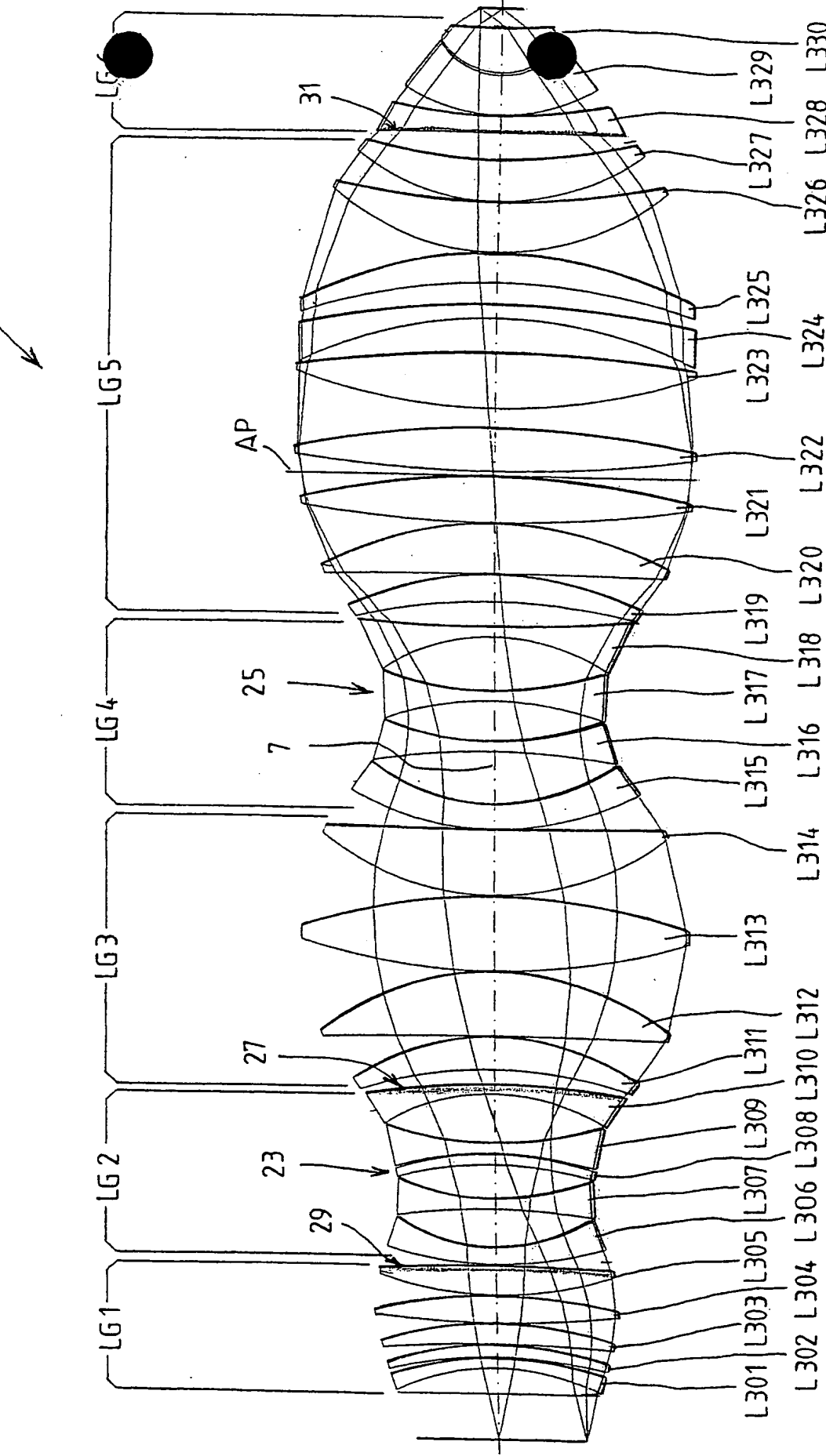


FIG. 4

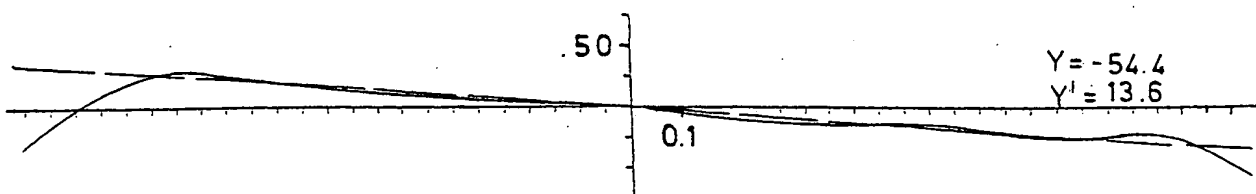
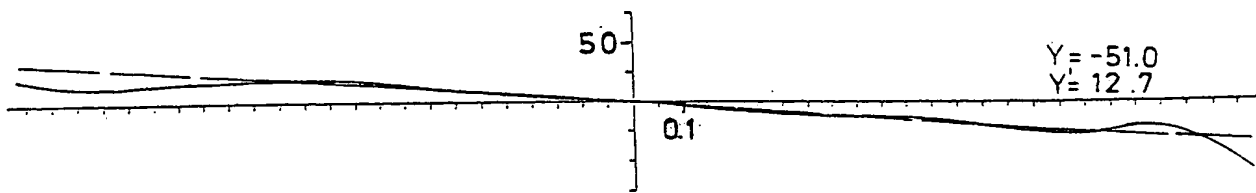
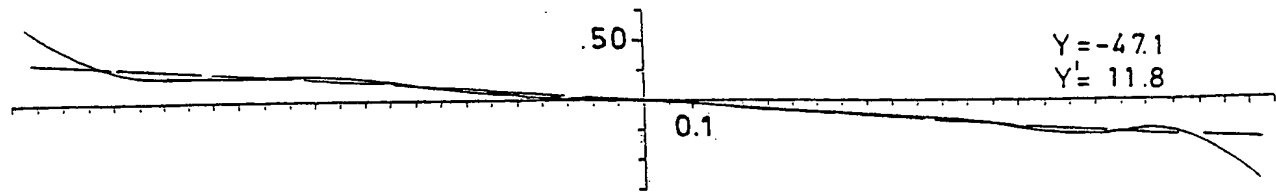
19



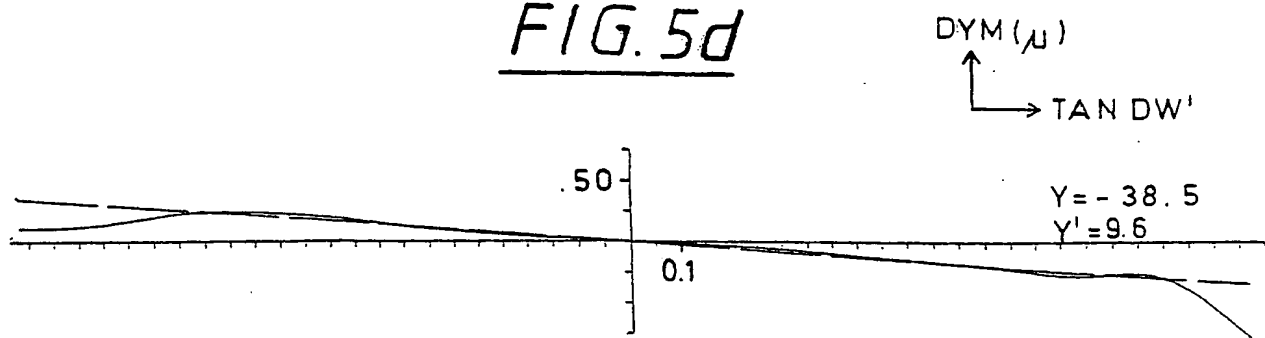
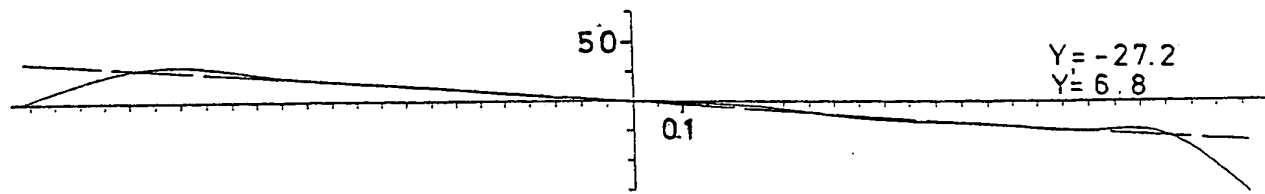
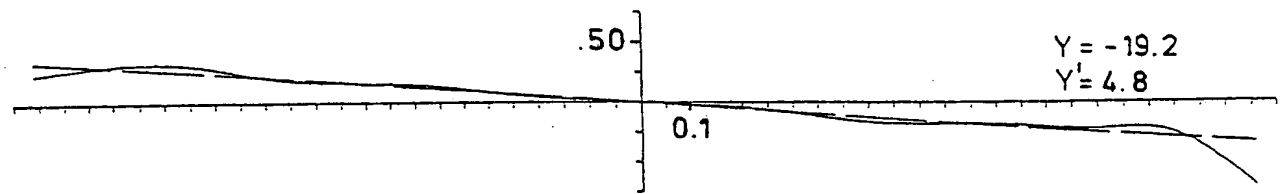
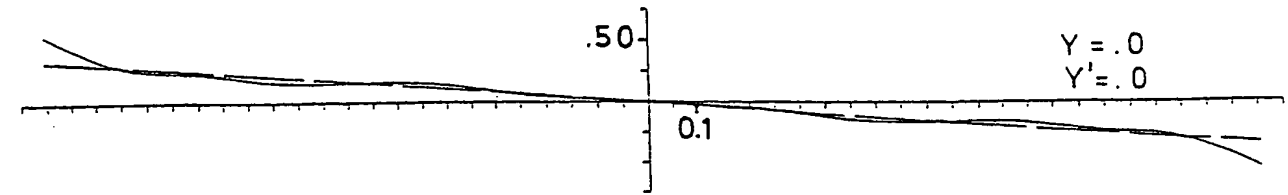
5/13

FIG. 5a

DYM (μ)
→ TAN DW'

FIG. 5bFIG. 5c

6 / 13

FIG. 5dFIG. 5eFIG. 5fFIG. 5g

7/13

DZS (μ)
↑
→ TAN DW'

FIG. 6a

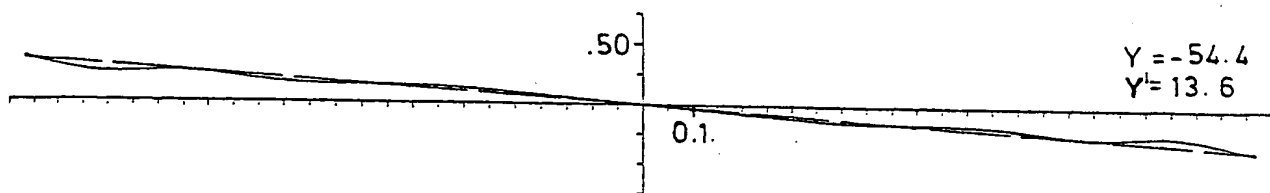


FIG. 6b

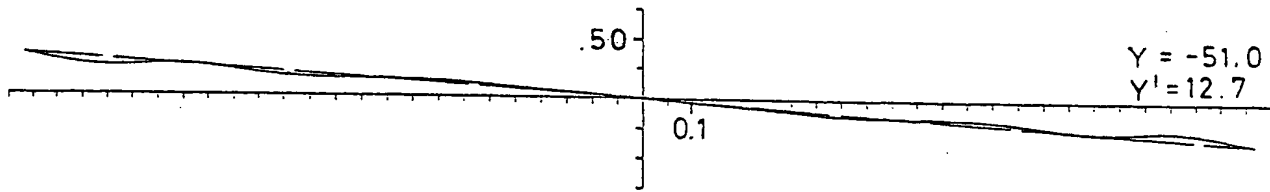
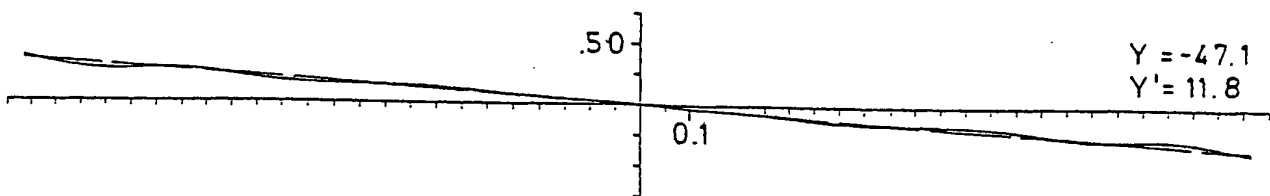


FIG. 6c



8 / 13

DZS (μ)
↑
→ TAN DW'

FIG. 6d

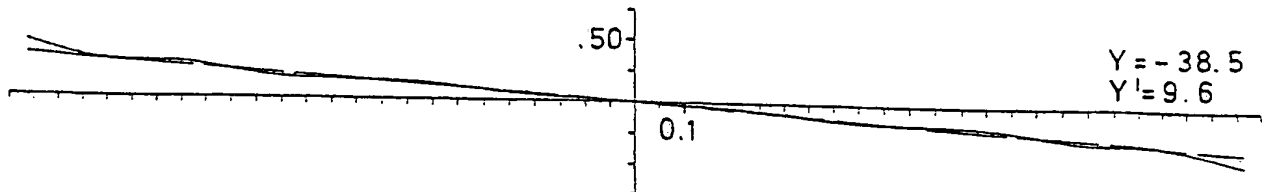


FIG. 6e

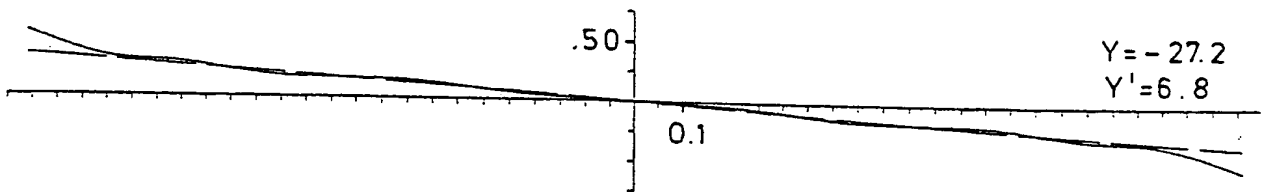


FIG. 6f

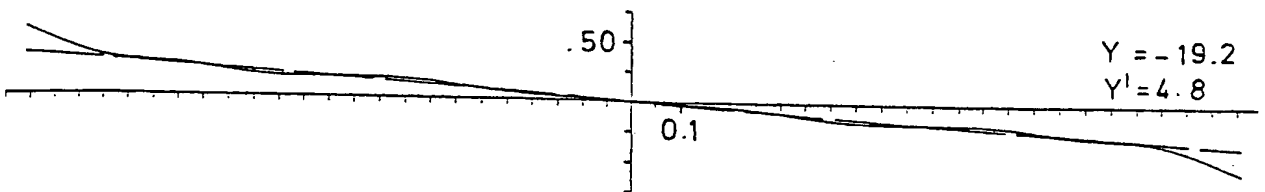
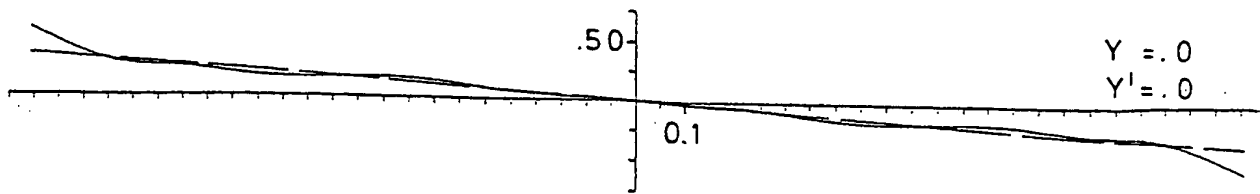


FIG. 6g



9/13

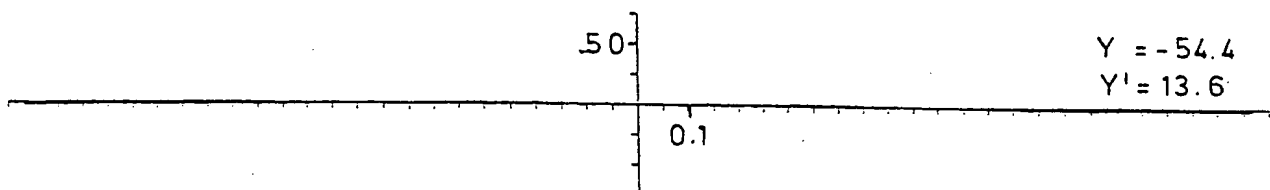


FIG. 7b

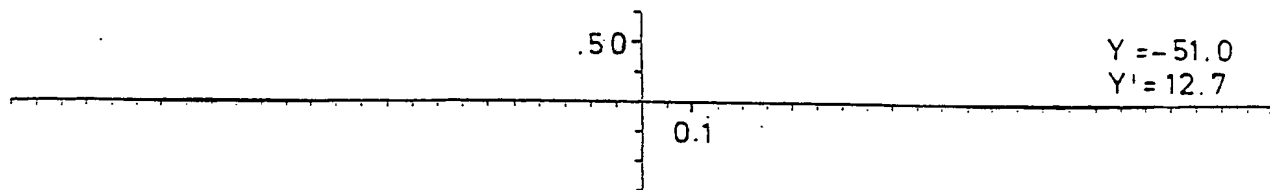
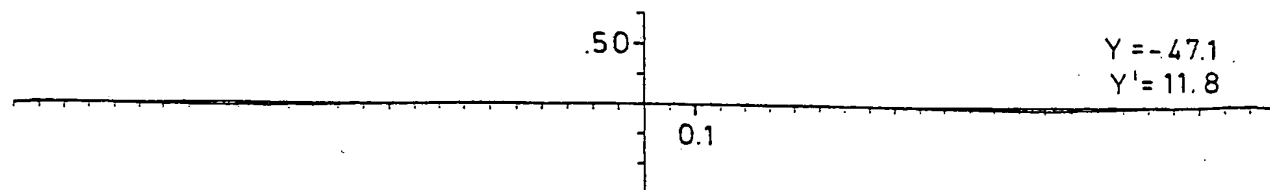


FIG. 7c



10/13

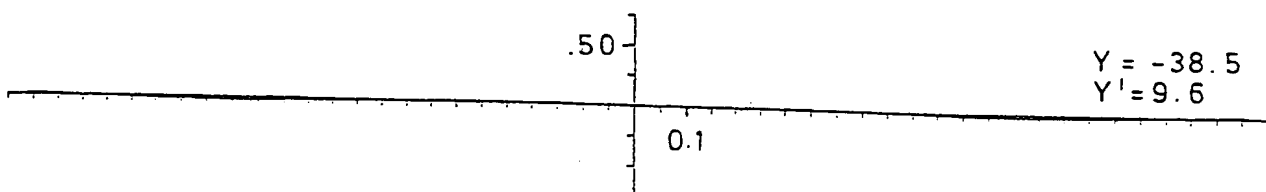
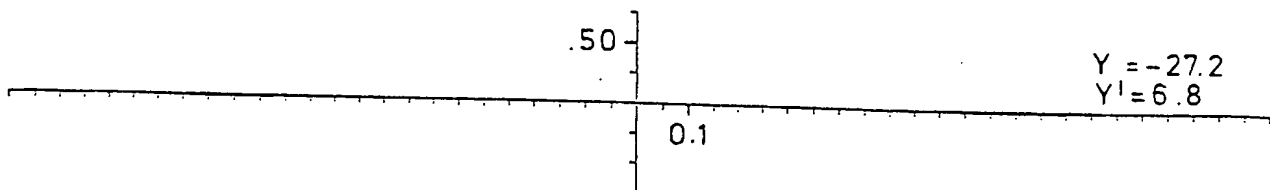
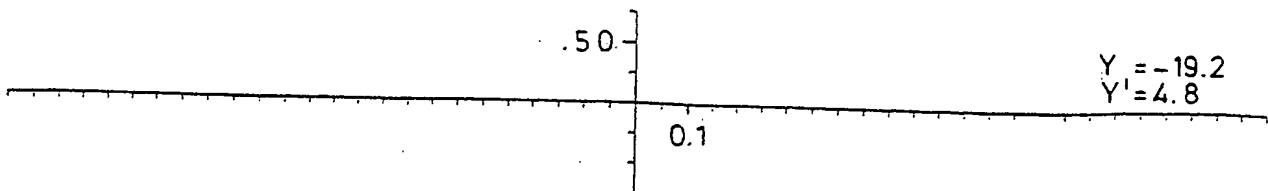
FIG. 7dFIG. 7eFIG. 7f

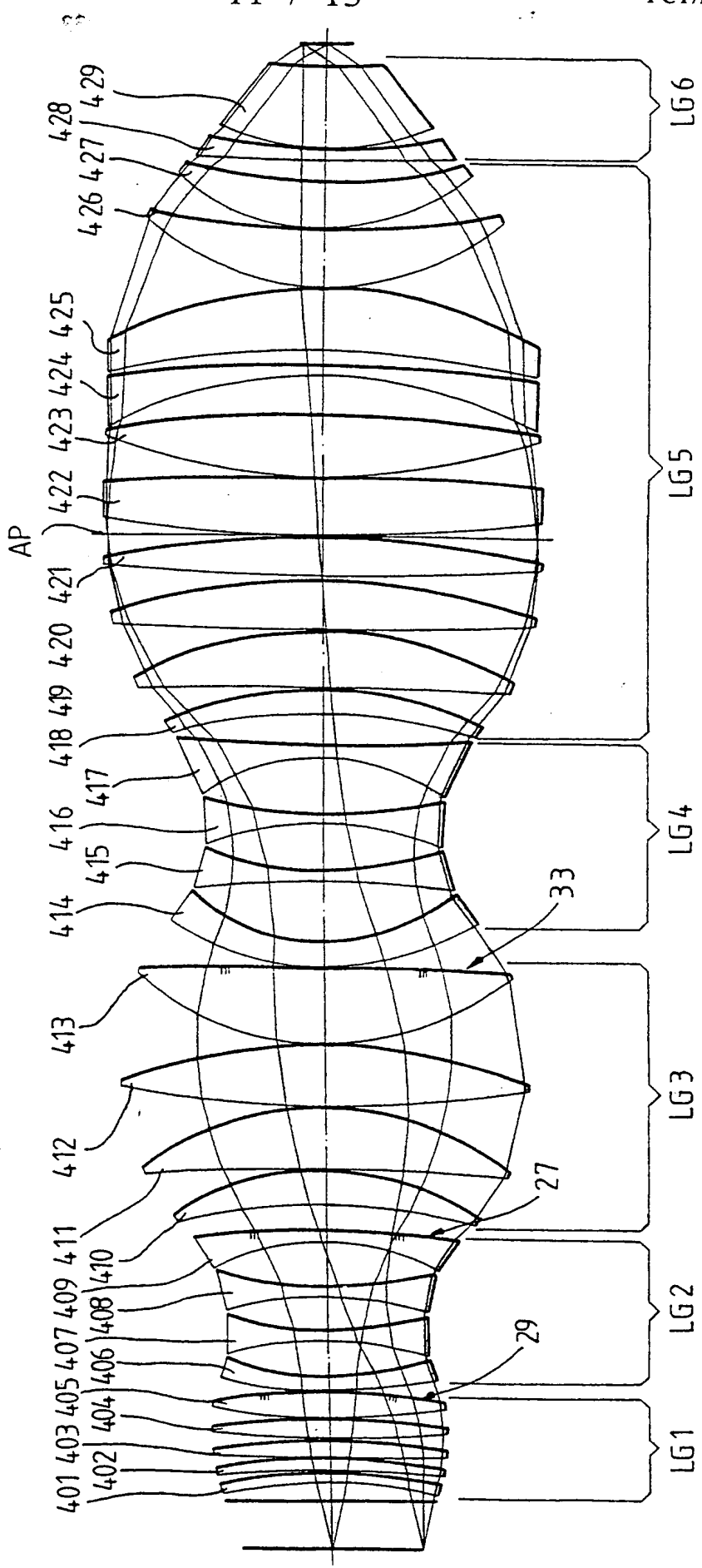
FIG. 8

FIG. 9

19

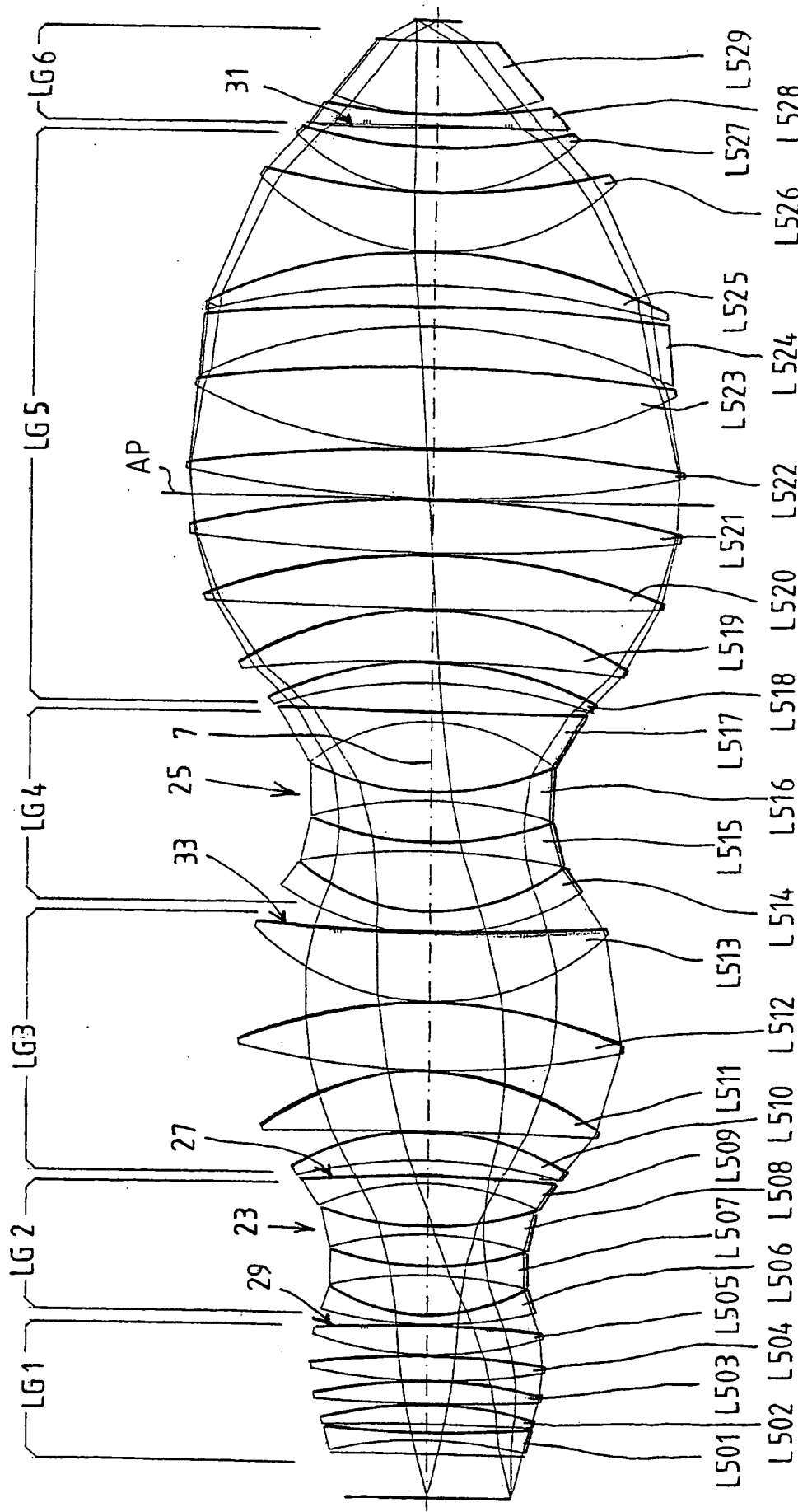


FIG. 10

19

13 / 13

